

# 固体レーザ設計技術入門(3)

## (Introduction to Solid-state Laser Design)

3.1 縦モードと利得飽和

3.2 利得係数と共振器内部損失計測法(Findlay-Clay法)

3.3 3準位レーザ

### 3.1 縦モードと利得飽和

- 固体レーザの利得の飽和を理解するため、気体レーザの利得飽和から説明する。
  - ・ 気体レーザの場合、発振スペクトル線幅はドップラー効果による不均一広がり(inhomogeneous broadening)を持つ。

ドップラー効果の一般式



原子が  $\omega_o$  の光を出しながら  $v_z$  で走行しているとすると、静止観測者(実験系)からは、

$$v_{ob} = 0 \quad v_s = v_z \quad \omega_{ob} \equiv \omega \quad \omega_s \equiv \omega_o \text{ として}$$

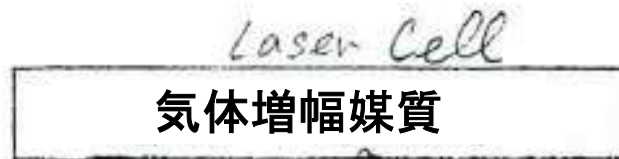
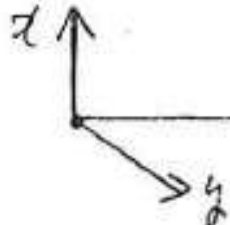
$$\frac{\omega}{\omega_o} = \frac{c - 0}{c - v_z} = \omega_o \left( \frac{c}{c - v_z} \right) = \omega_o \frac{1}{(1 - v_z/c)}$$

$$\frac{|v_z|}{c} \ll 1 \text{ なので, } \omega \cong \omega_o \left( 1 + \frac{v_z}{c} \right)$$

## ●共振器のない気体増幅媒質の場合

進行波光電界  $\omega'$

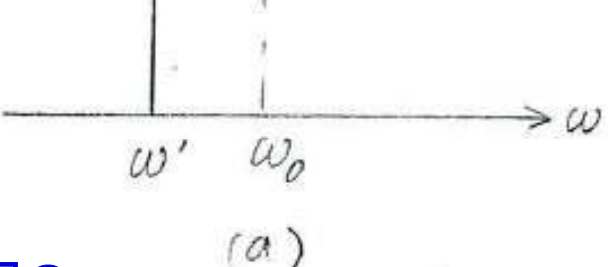
$$\omega' \curvearrowright$$



増幅された光電界

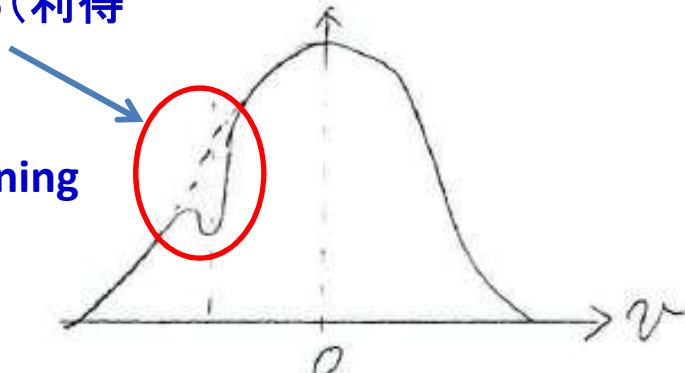
$$\omega' \curvearrowright$$

共振周波数:  $\omega_0$



$$\omega' = \omega_0 \left(1 - \frac{v}{c}\right)$$

- 光増幅に寄与した原子集団の領域で利得が減少する(利得媒質に穴があく).

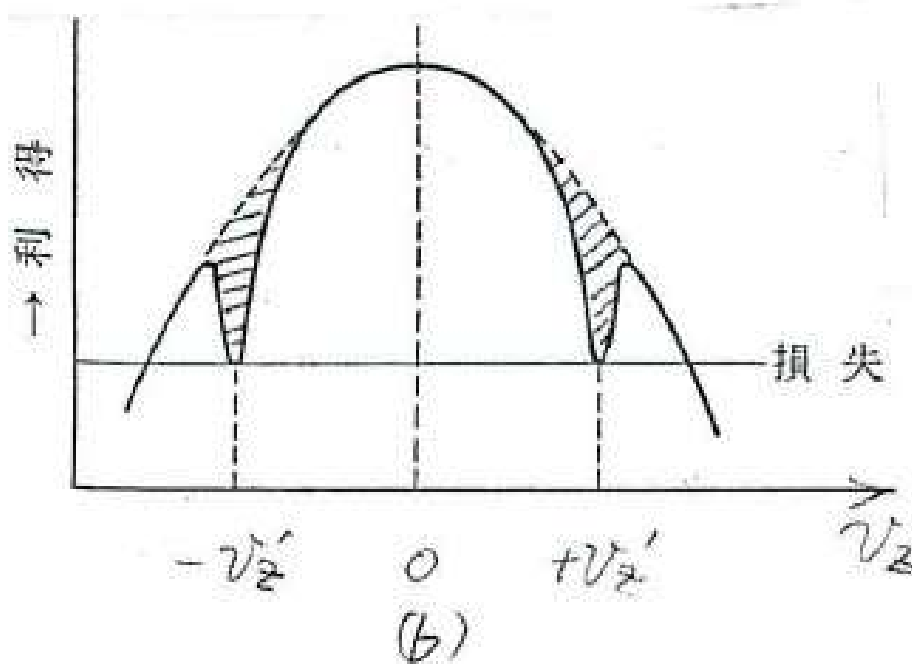
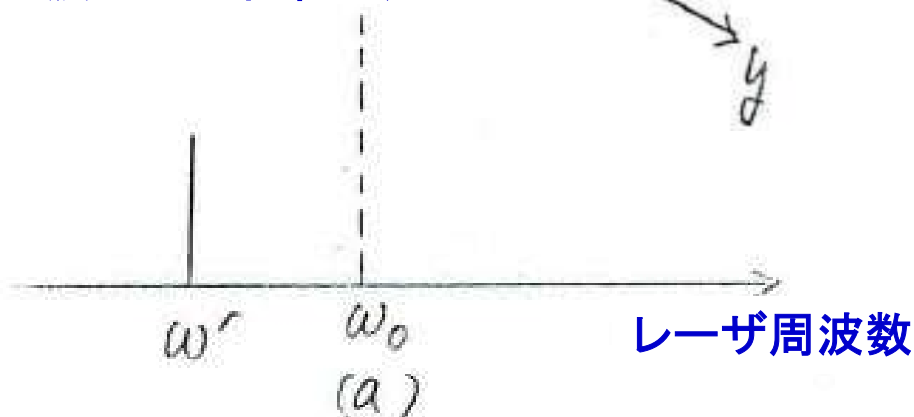
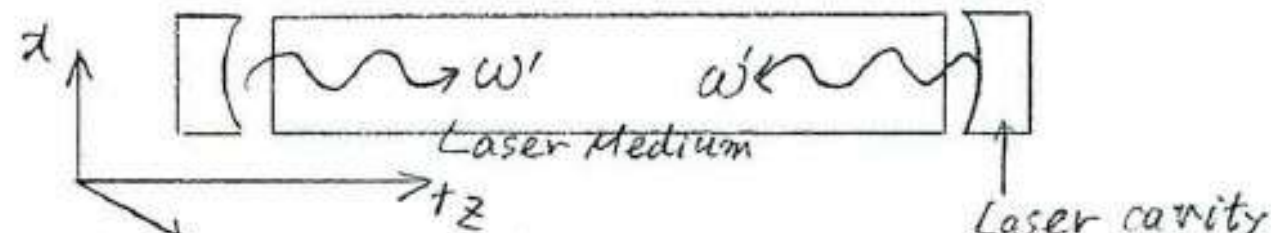


- これをSpectral hole burningという.

(b)

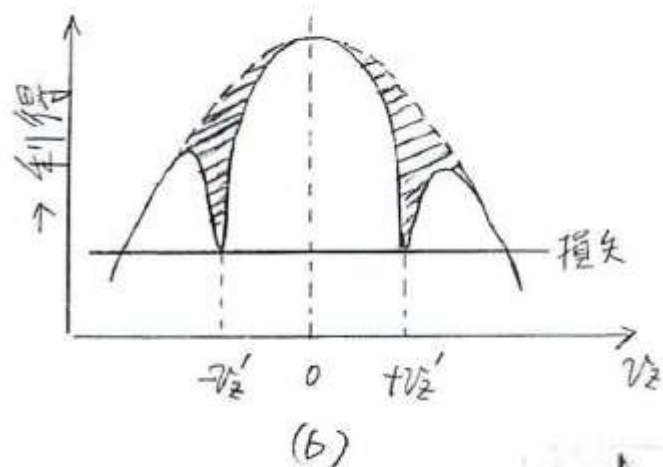
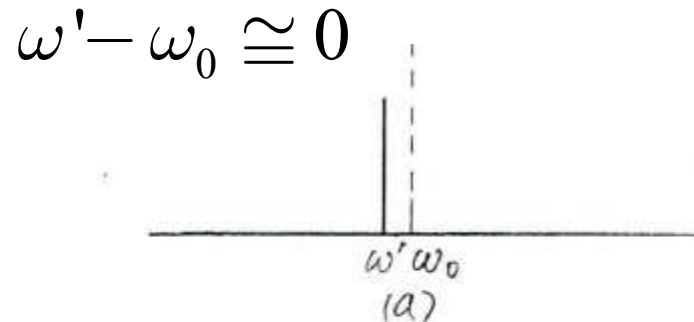
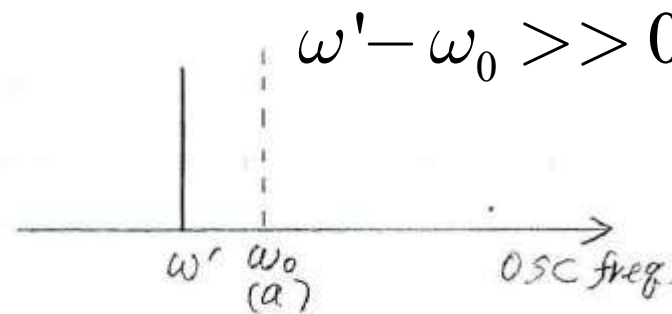
## ● 共振器中の場合

- ・定在波として光電界が存在する(左右の進行波の重ね合わせ).

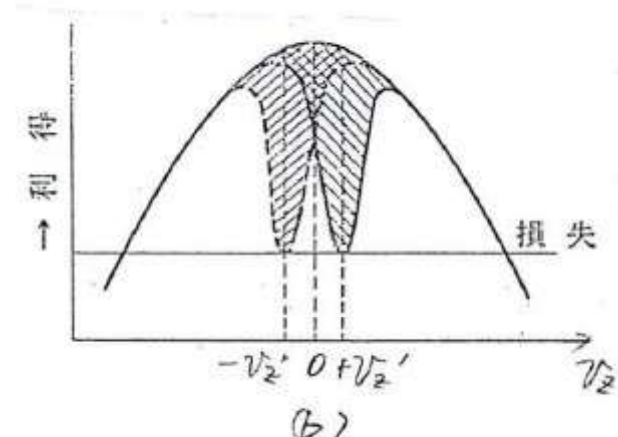


$$\omega' = \omega_0 \left( 1 \pm \frac{v_2'}{c} \right)$$

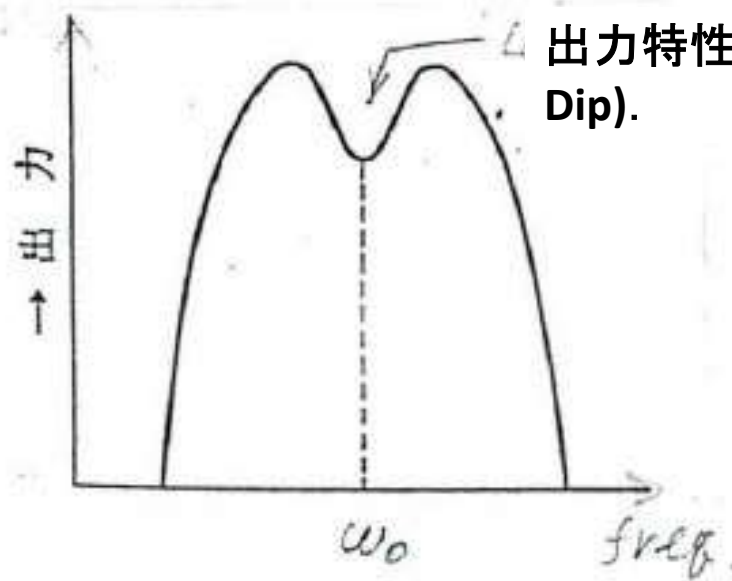
- ・気体の速度分布上では、 $v=0$ を中心に左右対称の速度位置でホールバーニングが生じる



$\omega' - \omega_0 = 0$  では、左右のホールバーニングが重なり、一層強い飽和を受け、出力が減少する。これを Lamb Dipという。



出力特性に凹みが現れる(Lamb Dip)。

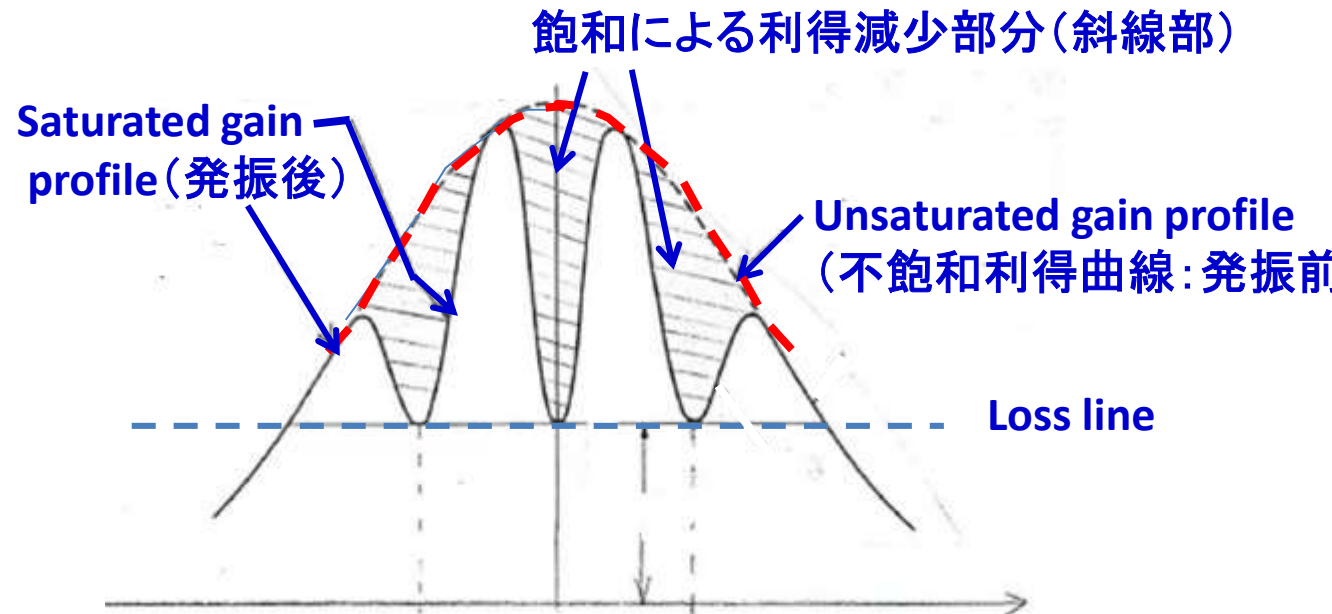


斜線の面積がレーザ出力に寄与。

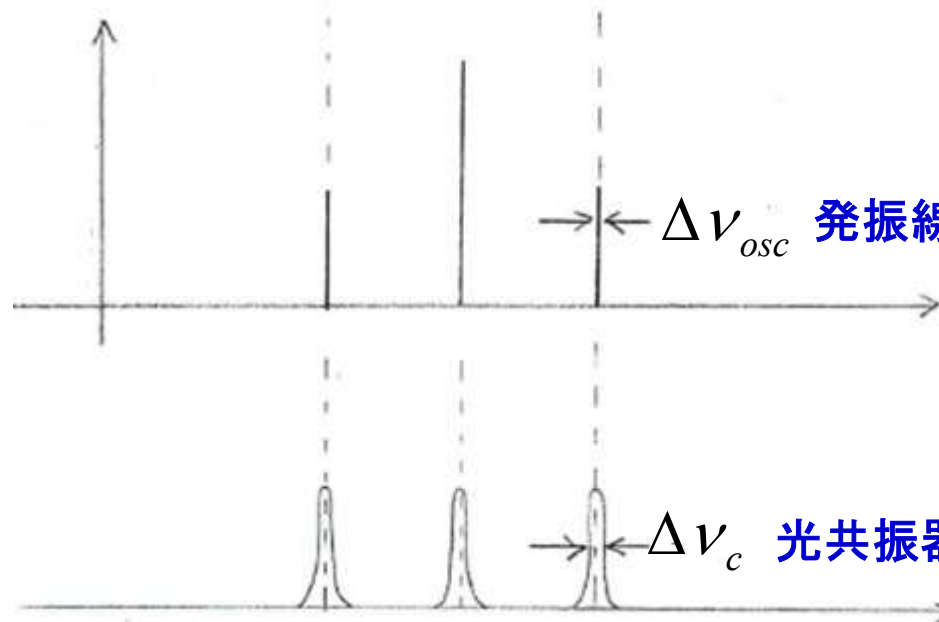
斜線が重畠した部分はレーザ出力に寄与しない。

↓  
出力が急減  
(Lamb dip)

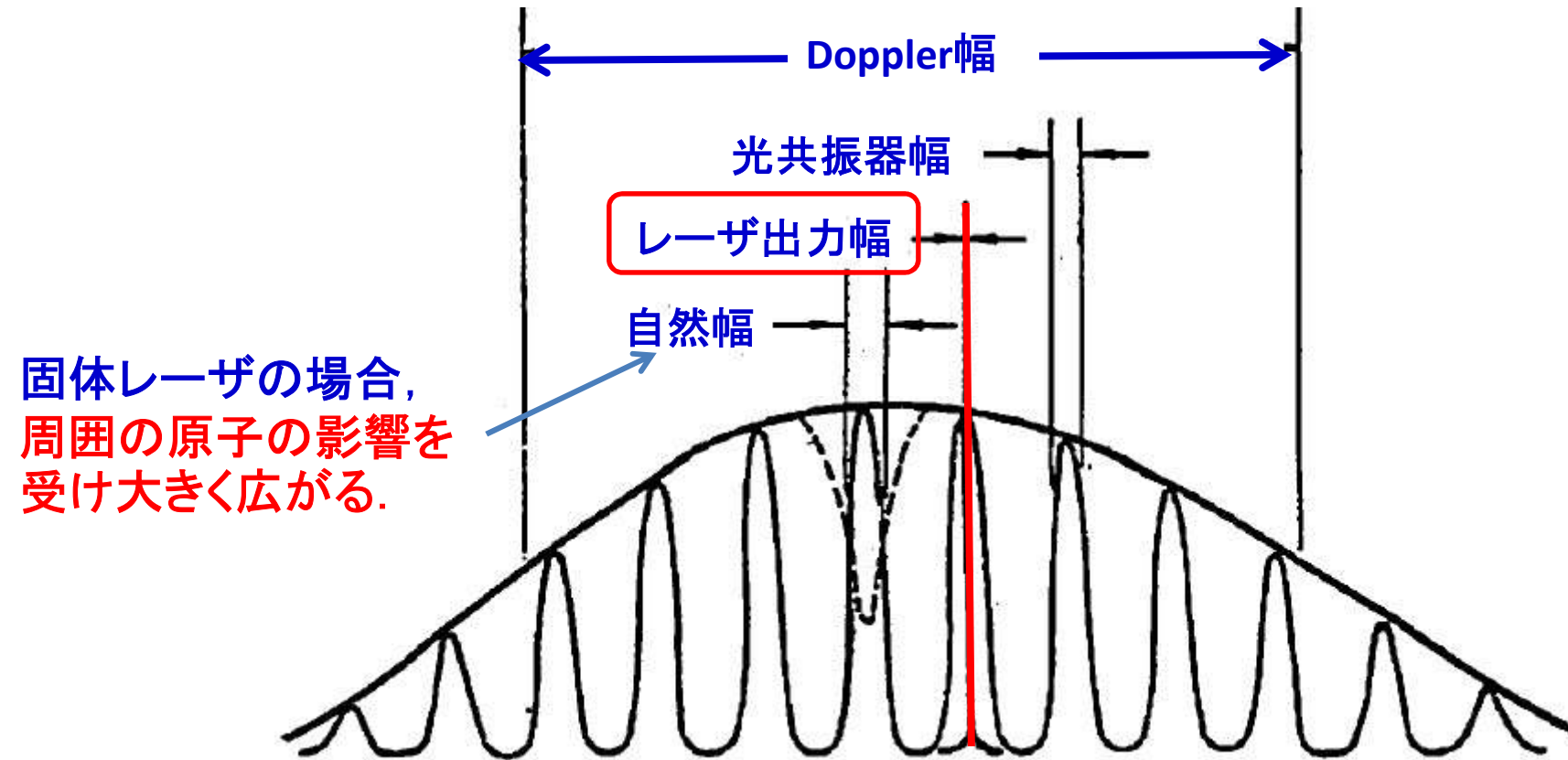
## ● 気体レーザの利得飽和



理論値:  $\simeq 10^{-4} \text{ Hz}$   
実験値:  $\simeq 10^4 \text{ Hz}$

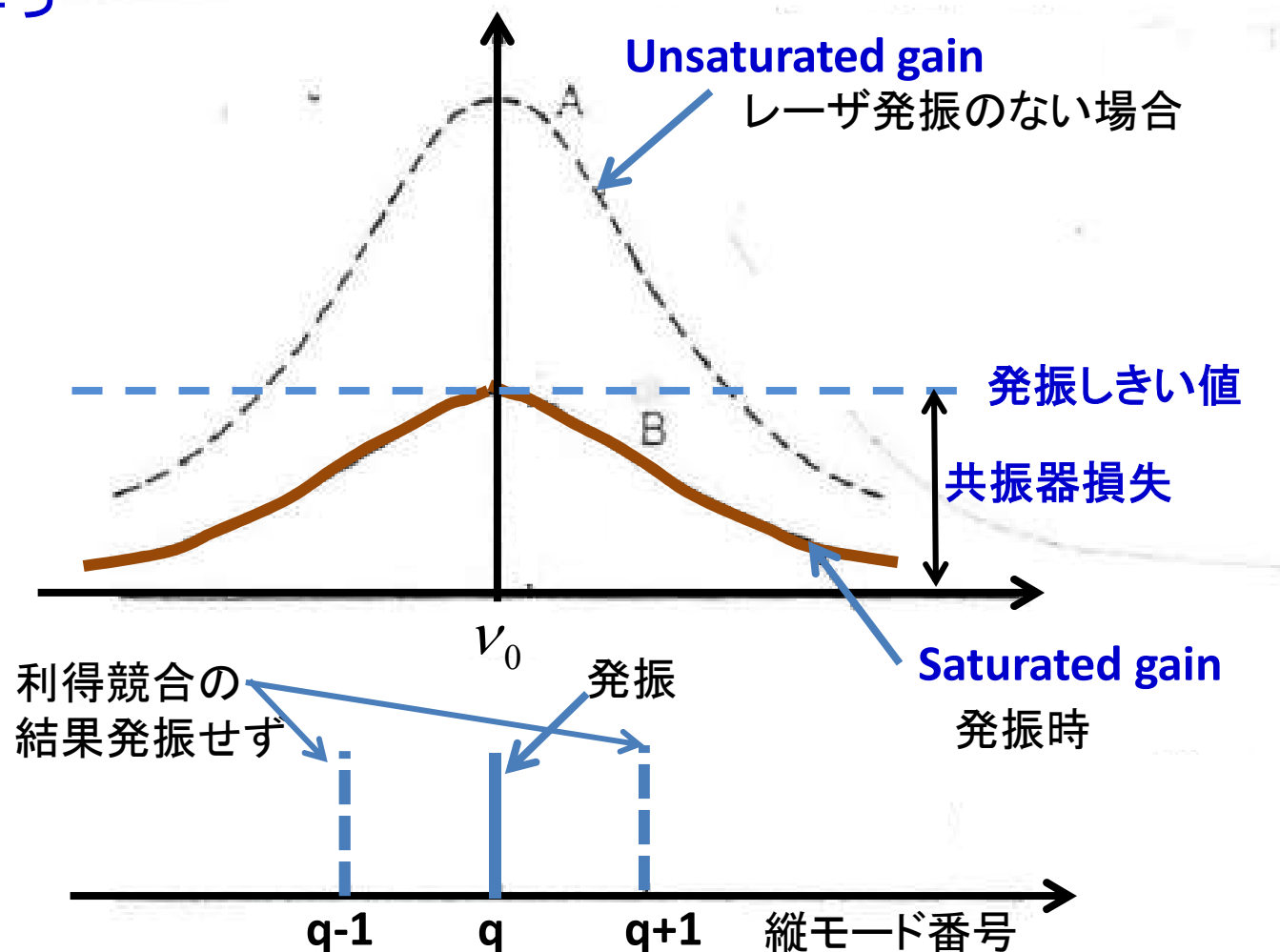


## ●レーザ利得および発振光のスペクトル



## ● 固体レーザの利得飽和

- ・固体レーザ利得スペクトルのプロファイルは、格子振動などに起因する均一広がり幅を持つ



均一な線の広がりがある場合の利得曲線(通常は、縦モード1本にまとまって発振すると考えることができる)。

- ・上述のように、固体レーザの利得の飽和の仕方を考えれば、基本的には、利得中心近傍で单一周波数発振するはずである。
- ・しかし現実の、固体レーザでは、ストレート共振器(定在波型共振器)レーザの場合、单一縦モードでは発振せず、マルチモード発振となる。
- ・その理由は、共振器内では、レーザ電界は定在波となっていて、空間的には電界強度の節と腹ができている。それに対応した利得の空間的ホールバーニングが生じている。
- ・第q番目の縦モード発振による利得の空間的な穴(空間的ホールバーニング)が発生し、その残存部分(定在波の腹)の利得を第q+1番目の縦モードが得ることができ、発振する。
- ・第q+2番目の縦モードでも同様なことが生じ、結果的に縦多モード発振となる。
- ・このことについては、下記文献に詳しい解説がなされている。

[3-1] A. E. Siegman; *Lasers*, University Science Books(1986) 466.

[3-2] 平等拓範 学位論文 p.29.

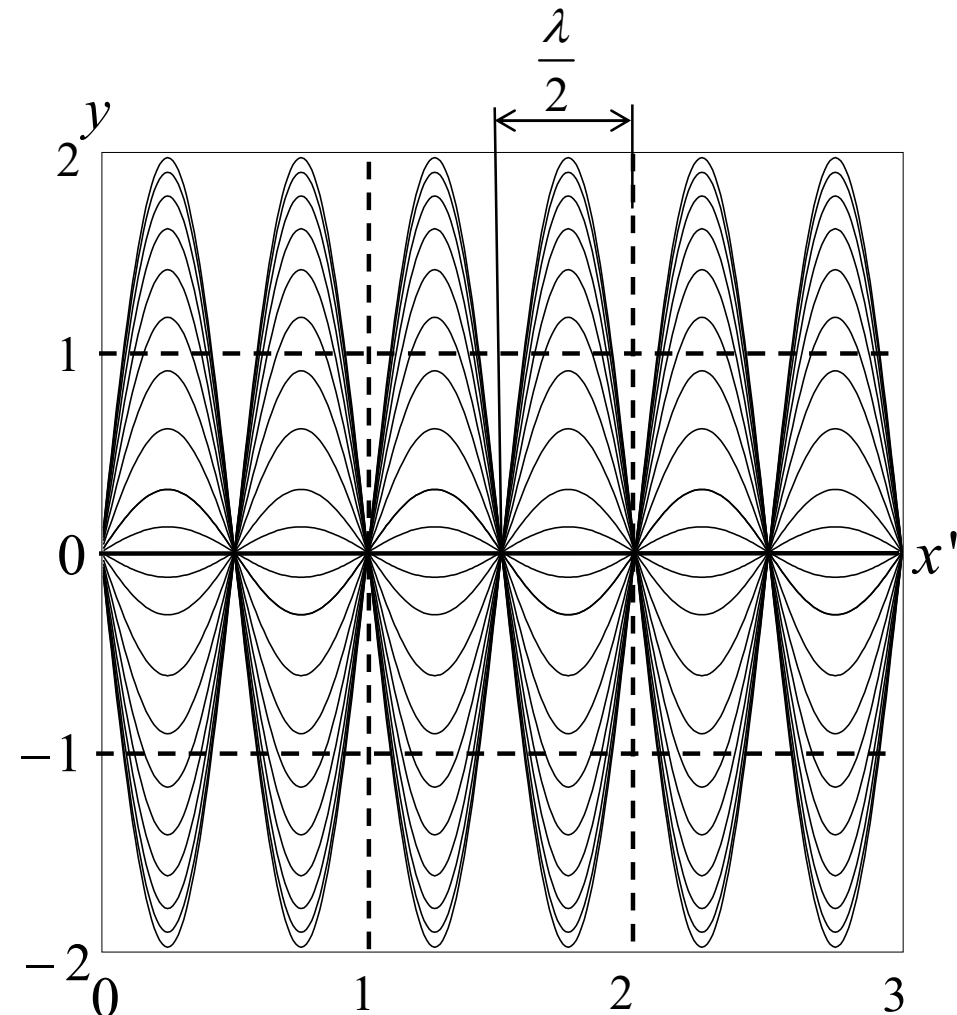
[3-3] 小林喬郎 編; 固体レーザー, 学会出版センター(1997) 26.

## [補足] 定在波

- ・次ページ図は光電界の定在波に対するイメージ図,
- ・利得飽和は、光強度で考えるので、[次ページ図の2乗した図](#)で考えれば、  
Siegman “LASERS”p.466 Fig.12.5と同様になる。
- ・お互いに逆方向に進行する光電界の重ね合わせは、次式となる。

$$\begin{aligned}y(t) &= A \cos(\omega t - \beta x) + B \cos(\omega t + \beta x) \\&= A(\cos \omega t \cos kx + \sin \omega t \sin kx) + B(\cos \omega t \cos kx - \sin \omega t \sin kx) \\&= (A + B) \cos \omega t \cos kx + (A - B) \sin \omega t \sin kx\end{aligned}$$

●光電界の定在波に対するイメージ図



$A = 1, B = -1$  の場合の定在波の様子

## 3.2 利得係数と共振器内部損失計測法(Findlay-Clay法)

- ・与えられたレーザ系で利得係数と共振器内部損失を実測する方法としてFindlay-Clayの論文[3-4]がしばしば引用される。以下その解説を示す。
- ・レーザ発振条件は、レーザ共振器1往復における利得と全損失(共振器内部損失+出力鏡の透過損失)とが一致することである。

$$(1 - a_w)^4 (1 - t_2) = \exp(-2(g - \alpha)l) \quad (1-3)$$

- ・上式の両辺の対数をとると、

$$-2(g - \alpha)l = 4 \ln(1 - a_w) + \ln(1 - t_2)$$

ここで、右辺第2項に  $\ln(1 - x) \cong -x$  の近似を適用し、

$(1 - t_2) \equiv R$  と置くと、上式は、次式のように書き換えられる。

$$2gl = 2(\alpha l + 2a_w) - \ln R \quad (3-2)$$

資料ISLD1で、出力鏡による損失を除いた共振器一往復損失  $a$  は、次式で与えられた。

$$2(\alpha l + 2a_w) \equiv a \quad (3-3)$$

- ・(3-3)を(3-2)に代入すると次式を得る.

$$-\ln R = 2gl - a \quad (3-4)$$

- ・ここで, 発振しきい値近傍を考えると, 共振器内レーザパワーはほぼゼロであり, 非常に小さな値と見なすことができる.
- ・一方, 固体レーザの飽和を表す式は, 前回説明したように,

$$g = \frac{g_o}{1 + I / I_s} \quad [1/cm]$$

で表されるので, しきい値近傍のレーザ利得係数  $g_{th}$  は,

$$g = \frac{g_o}{1 + I / I_s} \bigg|_{I=0} \equiv g_{th} \simeq g_o \quad (3-5)$$

ほぼ小信号利得係数  $g_0$  に等しいとしてよい.

- ・さらに,  $g_0$  は, 励起パワー  $P_{in}$  に比例するとしてよいので, しきい値近傍では, 次式のように置くことができる.

$$g_0 l \equiv \xi P_{inth} \quad (3-6)$$

しきい値近傍での励起パワー

- ・(3-6)を(3-4)に代入すると、次式を得る。

$$-\ln R = 2\xi P_{inh} - a \quad (3-7)$$

$$y = Ax + B$$

- ・すなわち、(3-7)は、 $P_{inh}$ を変数

に対応させると従属変数を

$-\ln R$ とした1次関数の方程式と関係づけられる。

- ・よって、複数個の異なった反射率を有する出力鏡を用意し、与えられたレーザ励起系で各々の出力鏡で**発振しきい値パワー**を実測すれば、グラフの傾きと切片から、右図のように、 $\xi$ と共に振器内部損失  $a$ を求めることが出来る。これを、Findlay–Clay法[3-4]という。

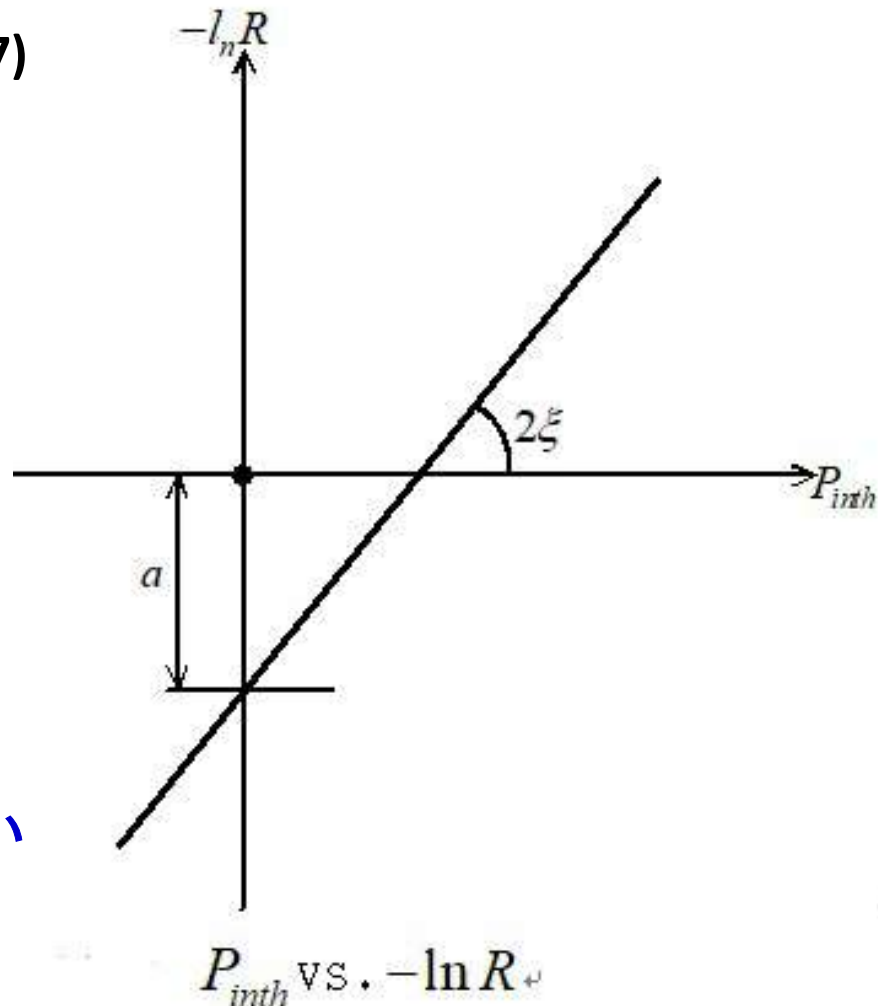


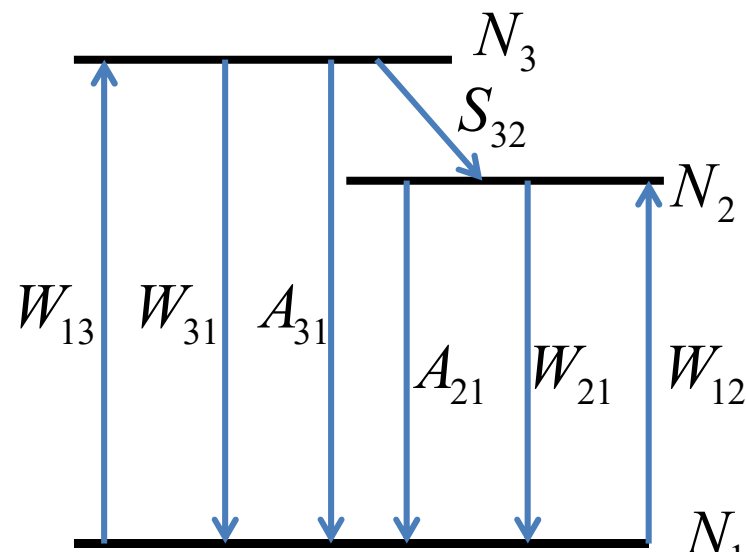
図3.3

- ・図3.3グラフの勾配によって、その系における  $\xi$  がわかれれば、(3-6)より、特定の励起パワーにおける  $g_0 l$  が得られる。
- ・また、図3.3グラフの縦軸との交点によって  $a$  が読み取れるので、これらの値から、出力鏡の最適透過率  $T_{opt}$  が、(1-9)  $T_{opt} = \sqrt{2g_0 l a} - a$  より得られ、これを(1-10)、すなわち次式

$$P_{out,max} = \frac{I_s A}{2} (\sqrt{2g_0 l} - \sqrt{a})^2$$

に代入すれば、その系における最大出力を見積もることができる。  
 ただし、媒質の飽和光強度  $I_s$  と媒質内ビーム断面積  $A$  を知る必要がある。ビーム断面積は、用いる完全反射鏡と出力鏡の曲率半径に依存する。これについては別途詳述する。

### 3.3 3準位レーザ



- 左図のように準位2, 1間にレーザ遷移で、準位1が基底状態または、励起状態であっても基底状態に非常に近く、熱的に容易に結合している場合、3準位レーザと言う。
- ルビーレーザはその代表例。
- そのレート方程式は、以下のように表せる。

$$\frac{dN_3}{dt} = W_{13}N_1 - (W_{31} + A_{31} + S_{32})N_3 \quad (3-8)$$

$$\frac{dN_2}{dt} = W_{12}N_1 - (W_{21} + A_{21})N_2 + S_{32}N_3 \quad (3-9)$$

$$\frac{dN_1}{dt} = (W_{31} + A_{31})N_3 + (W_{21} + A_{21})N_2 - (W_{12} + W_{13})N_1 \quad (3-10)$$

$$N_1 + N_2 + N_3 = N_0 \quad (3-11)$$

- ここで、Wは誘導遷移、Aは自然遷移、Sは無放射遷移、ただし、準位2→1、3→1の無放射遷移、3→2の放射遷移は省略した。

- ・次に,  $\Delta N \equiv N_2 - N_1$ ,  $W_{13} = W_{31} \equiv W_P$ , と置いて(3-8,9,10)を書き換えると, 次式を得る.

$$\frac{dN_3}{dt} = W_P(N_1 - N_3) - S_{32}N_3 - A_{31}N_3 \quad (3-12)$$

$$\frac{dN_2}{dt} = S_{32}N_3 - W_L\Delta N - A_{21}N_2 \quad (3-13)$$

$$\frac{dN_1}{dt} = A_{31}N_3 + A_{21}N_2 - W_P(N_1 - N_3) + W_L\Delta N \quad (3-14)$$

- ・(3-12)で,  $S_{32} \gg A_{31}$  と仮定すると,  $A_{31}N_3 \simeq 0$  と見なせるので,

$$\frac{dN_3}{dt} = W_P(N_1 - N_3) - S_{32}N_3 \quad (3-15)$$

となる. さらに, 強い励起状態では,  $\frac{dN_3}{dt} \simeq 0$  と見なせるので, (3-15)より, 次式を得る.

$$W_P(N_1 - N_3) \simeq S_{32}N_3 \equiv R \text{ (Pumping Rate)} \quad (3-16)$$

- ・(3-16)を用いると、(3-13,14)は、次式のように書き換えられる。

$$\frac{dN_2}{dt} = R - W_L \Delta N - A_{21} N_2 \quad (3-17)$$

$$\frac{dN_1}{dt} = -R + A_{21} N_2 + W_L \Delta N \quad (3-18)$$

- ・以上の準備をした上で、以下、 $\Delta N$ (反転分布)について考える。

- ・ $N_1$  は、基底状態なので、 $N_1 \gg N_3$ とみなしてよいので、次式が成り立つ。

$$N_1 + N_2 \simeq N_0 \quad (3-19)$$

- ・従って、次式(3-20,21)も成り立つ。

$$N_1 + N_2 + (N_2 - N_1) = 2N_2 \simeq N_0 + \Delta N$$

$$\text{よって, } N_2 \simeq \frac{N_0 + \Delta N}{2} \quad (3-20)$$

同様に、

$$N_1 + N_2 - (N_2 - N_1) = 2N_1 \simeq N_0 - \Delta N$$

$$\text{よって, } N_1 \simeq \frac{N_0 - \Delta N}{2} \quad (3-21)$$

- ・定常状態では,  $\frac{dN_i}{dt} = 0$  なので, (3-17)より,

$$R - W_L \Delta N - A_{21} N_2 = 0$$

上式に(3-20)を用いて,  $\Delta N$  について解くと, 次式を得る.

$$\Delta N = \frac{R - (A_{21} N_0 / 2)}{(W_L + A_{21} / 2)} \quad (3-22)$$

- ・ $\Delta N > 0$  となるためには,  $R > \frac{A_{21} N_0}{2}$  が必要.
- ・(3-16)より,  $W_P (N_1 - N_3) \simeq S_{32} N_3 \equiv R$  であったので, (3-21)を用いると,

$$R = W_P (N_1 - N_3) \simeq W_P N_1 \simeq W_P \frac{(N_0 - \Delta N)}{2} \simeq W_P \frac{N_0}{2} \quad (3-23)$$

- ・よって,  $W_P \frac{N_0}{2} > \frac{A_{21} N_0}{2}$  を得る.

- ・すなわち、次式が成り立つまで励起強度を強めれば、反転分布が達成され、発振可能性がある。

$$W_P > A_{21} \quad (3-24)$$

- ・実際、このような条件を満たす遷移を、固体分光学者であったT. Maiman (W. E. Lamb Jr. の弟子)がルビーで見いだし、Xeフラッシュランプによる強励起により、最初のレーザを発振、実現した。

・次回につづく